

На правах рукописи

Тухватуллина Рузана Рамилевна

**Физико-математические модели двухфазного
неизотермического двухскоростного течения пузырьковой
среды**

Специальность 01.02.05 — Механика жидкости, газа и плазмы

АВТОРЕФЕРАТ

диссертации на соискание ученой степени
кандидата физико-математических наук

Москва, 2018

Работа выполнена в Федеральном государственном бюджетном учреждении науки Институте химической физики им. Н.Н.Семенова Российской академии наук

Научный руководитель: Фролов Сергей Михайлович,
доктор физико-математических наук,
Институт химической физики им. Н.Н.Семенова РАН,
заведующей лабораторией

Официальные оппоненты: Марков Владимир Васильевич,
доктор физико-математических наук,
Математический институт им. В.А. Стеклова РАН,
ведущий научный сотрудник

Меньшов Игорь Станиславович,
доктор физико-математических наук,
Институт прикладной математики им. М.В.Келдыша РАН,
старший научный сотрудник

Ведущая организация: Институт автоматизации проектирования РАН

Защита состоится «__» _____ 2018 года в «__» час. «__» мин. на заседании диссертационного совета Д002.024.03 при ИПМ им.М.В.Келдыша РАН по адресу: 125047, Москва, Миусская пл., д.4.

С диссертацией можно ознакомиться в читальном зале отдела диссертаций Фундаментальной библиотеки МГУ имени М.В. Ломоносова по адресу:

Ломоносовский проспект, д.27 и на сайте <http://www.keldysh.ru/council/3/>

Автореферат разослан «__» _____ 2018 года

Ученый секретарь диссертационного совета,
кандидат физико-математических наук

Корнилина М.А.

ОБЩАЯ ХАРАКТЕРИСТИКА РАБОТЫ

Актуальность темы исследования. В настоящее время появился интерес к разработке силовых установок нового типа для надводных и подводных аппаратов и транспортных средств различного назначения — гидрореактивного водометного движителя (ГРД), работающего в режиме импульсной или непрерывной детонации [1; 2]. Это связано с тем, что термодинамический цикл с детонационным горением топливной смеси более энергоэффективен, чем все другие известные термодинамические циклы с дефлаграционным сжиганием топлива [3]. Кроме того, ожидается [4], что при детонационном горении топлива эмиссия вредных веществ (СО, сажа, оксиды азота и др.) будет существенно ниже, чем в традиционном цикле со сжиганием топлива при постоянном давлении (цикл Брайтона).

Импульсно-детонационный ГРД представляет собой водовод — профилированный канал — и погруженную в него детонационную трубку. В таком ГРД тяга создается путем периодического вытеснения забортной воды из водовода под действием бегущей ударной волны (УВ), порожденной детонацией в трубке, и расширяющихся продуктов детонации топливной смеси. Поскольку забортная вода в водоводе барботируется газообразными продуктами горения и детонацией, в канале образуется сжимаемая двухфазная пузырьковая среда. Именно этот фактор — использование в водоводе сжимаемой двухфазной пузырьковой среды — является ключевым в принципе работы импульсно-детонационного ГРД. Для оценки эффективности таких ГРД и для их проектирования необходимо уметь предсказывать передачу количества движения от УВ к пузырьковой жидкости, используя численное моделирование.

Кроме указанной выше практической задачи, понимание особенностей сжимаемых двухфазных пузырьковых течений важно для множества других

задач, в частности задач пожаро- и взрывобезопасности в химических технологиях.

На сегодняшний день существует несколько физико-математических моделей, описывающих течения пузырьковых сред. Выбор той или иной модели для решения конкретной задачи до сих пор остается предметом научных дискуссий.

Во-первых, при выборе модели необходимо иметь в виду проблему корректности задачи Коши для уравнений движения многофазных сред. Математические модели, описывающие многофазные течения, как правило, получают в результате пространственного, временного или статистического осреднения законов сохранения для течений составляющих фаз. В 1970-х годах при первых попытках получить численные решения многофазных уравнений, возникли неожиданные трудности, связанные с устойчивостью решения. Дальнейший анализ показал, что задача Коши для этих уравнений сформулирована некорректно (по Петровскому). Некорректность в таких задачах обычно связывают с недостаточно полным описанием межфазного взаимодействия. В общем случае межфазное взаимодействие зависит от топологии течения, типа имеющихся фаз и физических процессов, происходящих на межфазной поверхности, например, кавитации, трения, межфазного теплообмена и др. Поэтому в литературе предлагаются различные подходы к регуляризации дифференциальных уравнений в зависимости от типа решаемой задачи.

Во-вторых, численные результаты, полученные на основе выбранной математической модели, должны качественно и количественно описывать экспериментальные данные.

Таким образом, разработка корректной физико-математической модели для моделирования течений пузырьковой среды — актуальная задача.

Цель диссертационной работы — разработать корректные физико-математические модели неизотермического двухфазного течения в системе

«жидкость – пузырьки газа» и проверить их применимость к расчетам распространения ударных и детонационных волн в пузырьковых средах на основе сравнения результатов расчетов с экспериментальными данными.

Научная новизна.

Ниже перечислены новые научные результаты, полученные в работе:

1. Предложены четыре новые корректные физико-математические модели двухфазного двухскоростного неизотермического течения пузырьковой среды, которые последовательно (от простого к сложному) дополняются уравнениями, описывающими сопутствующие физические (колебания пузырьков, вязкость фаз, межфазный обмен количеством движения и энергией) и химические (глобальные и детальные кинетические механизмы химических реакций, энерговыделение в газе) процессы.
2. Для предложенных физико-математических моделей двухфазного двухскоростного неизотермического течения пузырьковой среды разработаны и отлажены новые численные алгоритмы.
3. Проведена верификация предложенных физико-математических моделей двухфазного двухскоростного неизотермического течения пузырьковой среды на основе сравнения результатов численных расчетов с литературными экспериментальными данными, а также с новыми данными экспериментов о передаче количества движения от ударной волны к пузырьковой жидкости, полученных с участием диссертанта.
4. Численно и экспериментально доказано существование оптимального начального газосодержания жидкости для достижения наиболее эффективной передачи количества движения от ударной волны к пузырьковой среде.

Теоретическая и практическая ценность диссертационной работы состоит в разработке и верификации иерархии из четырех корректных физико-

математических моделей двухфазного двухскоростного неизотермического течения пузырьковой среды, отличающихся разным уровнем детализации сопутствующих физико-химических процессов, применительно к задачам распространения волн давления в пузырьковых средах.

На защиту выносятся следующие основные результаты и положения:

1. Физико-математические модели двухфазного двухскоростного неизотермического течения пузырьковой среды, которые последовательно (от простого к сложному) дополняются уравнениями, описывающими сопутствующие физические (колебания пузырьков, вязкость фаз, межфазный обмен количеством движения и энергией) и химические (глобальные и детальные кинетические механизмы химических реакций, энерговыделение в газе) процессы.
2. Численные алгоритмы для предложенных математических моделей.
3. Результаты сравнения численных расчетов с литературными экспериментальными данными, а также с новыми данными экспериментов о передаче количества движения от ударной волны к пузырьковой жидкости, полученных с участием диссертанта.
4. Численное и экспериментальное доказательство существования оптимального начального газосодержания жидкости для достижения наиболее эффективной передачи количества движения от ударной волны к пузырьковой среде.

Достоверность и обоснованность результатов подтверждаются их сравнением с опубликованными в литературе и собственными экспериментальными, а также с известными расчетными данными.

Апробация работы и публикации. Основные результаты диссертационной работы докладывались на следующих научных семинарах и конференциях:

1. На конференциях отдела горения и взрыва ИХФ РАН, 2015 и 2016 года, г. Москва.
2. На научной сессии НИЯУ МИФИ, 2015 год, г. Москва.
3. На конференции «X Международный коллоквиум по импульсной и непрерывной детонации ICPCD», 2016 год, г. Санкт-Петербург, Россия.
4. На 7-ом Международном симпозиуме по «Неравновесным процессам, плазме, горению и атмосферным явлениям», 2016 год, г. Сочи, Россия.
5. На Всероссийской конференции «Теплофизика и физическая гидродинамика – 2016» с элементами школы для молодых ученых, 2016 год, г. Ялта.
6. На ежегодных Всероссийских научно-практических конференциях Министерства образования и науки Российской Федерации (2014, 2015 и 2016 гг.).
7. На заседаниях кафедры вычислительной механики механико-математического факультета МГУ им. М.В. Ломоносова.

Публикации. По материалам диссертации опубликовано 14 печатных работ. Статей, опубликованных в рецензируемых научных изданиях, рекомендованных ВАК – 3. Статей, планируемых выйти в печать в рецензируемых научных изданиях, рекомендованных ВАК – 1. Список работ приведен в конце автореферата.

Личный вклад. Соискатель принимал непосредственное участие в постановке задач, разработке вычислительных программ, планировании и проведении эксперимента, обработке экспериментальных данных, а также в подготовке статей и представлении докладов на конференциях.

Структура и объем диссертации. Полный объем диссертации составляет 129 страниц с 39 рисунками и 8 таблицами. Список литературы содержит 69 наименований.

СОДЕРЖАНИЕ ДИССЕРТАЦИИ

Во **введении** обоснована актуальность диссертационной работы, сформулирована цель работы и пути ее достижения. Коротко описаны основные научные результаты и их научная новизна. Приведены основные результаты, выносимые на защиту.

В **первой главе** проведен обзор литературы по теме диссертации.

Во **второй главе** получена физико-математическая модель, описывающая двухскоростное двухфазное течение жидкости с пузырьками инертного газа, методом пространственного осреднения.

Двухфазная среда в предложенной модели представляет собой совокупность двух континуумов, каждый из которых характеризуется своим средним давлением, скоростью потока и температурой. Для перехода к этим средним величинам вокруг произвольной точки пространства фиксировался элементарный объем V для которого выполнялось условие $d \ll \sqrt[3]{V} \ll L$, где d — характерный размер пузырьков (диаметр), L — характерный линейный размер задачи. Средние величины получены в результате осреднения исходных свойств среды (давления, плотности и т.д.) по элементарному объему V или межфазной поверхности, содержащейся в объеме V . Законы сохранения массы, количества движения и энергии, связывающие средние величины, выведены с использованием стандартных теорем осреднения исходных законов сохранения входящих фаз:

$$\begin{aligned}
\frac{\partial \alpha_i \rho_i}{\partial t} + \nabla_k (\alpha_i \rho_i u_i^k) &= 0 \\
\frac{\partial \alpha_i \rho_i u_i^j}{\partial t} + \nabla_k (\alpha_i \rho_i u_i^k u_i^j + p_i \alpha_i \delta^{jk}) - \hat{p}_I \nabla_j \alpha_i &= F_{i,m}^j \\
\frac{\partial \alpha_i \rho_i E_i}{\partial t} + \nabla_k (\alpha_i u_i^k (\rho_i E_i + p_i)) + \hat{p}_I \frac{\partial \alpha_i}{\partial t} &= Q_{i,m} \\
p_g = p_l = p, \quad \alpha_g + \alpha_l &= 1
\end{aligned} \tag{1}$$

где $i = l, g$ (жидкость или газ), $m = l, g$ и $m \neq i$, $\mathbf{u}_i = u_i^k \mathbf{e}_k$, p_i , ρ_i , E_i — скорость, давление, плотность и полная энергия i -ой фазы, полученных в результате осреднения исходных параметров среды по элементарному объему V , \mathbf{e}_k — ковариантный базис евклидова пространства, α_i — объемная доля i -ой фазы в объеме V , \hat{p}_I — среднее межфазное давление (см. ниже), полученное в результате осреднения исходного давления среды по межфазным поверхностям, содержащимся внутри элементарного объема V . Алгебраические источники $\mathbf{F}_{i,m}$ и $Q_{i,m}$ описывают межфазный обмен импульсом и энергией. Система уравнений (1) дополняется уравнениями состояния идеального газа и несжимаемой жидкости.

Для замыкания системы уравнений (1) необходима связь между средним межфазным давлением \hat{p}_I и средними кинематическими (скорости фаз) и термодинамическими (давления и плотности фаз) параметрами. Чтобы получить такую связь, рассматривали задачу об осреднении распределения давления вдоль поверхности твердой сферы, движущейся поступательно в неограниченном объеме идеальной жидкости [5]. Результат такого осреднения можно представить в виде:

$$\hat{p}_I = p_l + \frac{1}{2} C_s(\alpha_g, \text{Re}) \rho_l \mathbf{u}_{lg}^2 \tag{2}$$

где $\mathbf{u}_{lg} = (\mathbf{u}_l - \mathbf{u}_g)$ — скорость проскальзывания фаз, $\text{Re} = \frac{2R\rho_l |\mathbf{u}_{lg}|}{\mu_l}$ — число Рейнольдса относительного движения фаз, μ_l — вязкость жидкости, R — средний радиус пузырьков в элементарном объеме V . Смысл функции $C_s(\alpha_g, \text{Re})$

— это местный коэффициент давления, осредненный по поверхности сферического газового пузырька для различных чисел Рейнольдса относительного движения фаз. Функция $C_s(\alpha_g, Re)$ связана с коэффициентом сопротивления «формы» через соотношение:

$$C_s(\alpha_g, Re) = \beta(Re)C_{dp}^{coll}(\alpha_g, Re)$$

где $C_{dp}^{coll}(\alpha_g, Re)$ — коэффициент сопротивления «формы», учитывающий коллективные эффекты [6]:

$$C_{dp}^{coll}(\alpha_g, Re) = C_{dp}(Re)(1 - \alpha_g)^{-2.7}$$

Зависимости $\beta(Re)$ и $C_{dp}(Re)$ аппроксимировались кусочно-линейными функциями по значениям, представленным в таблице 1.

Таблица 1

Коэффициенты C_{dp} и β для различных чисел Re

Re	β	C_{dp}
10	-0.13	1.5
100	-0.52	0.48
400	-0.96	0.32
1000	-0.74	0.43
163000	-0.74	0.43

Показано, что задача Коши для системы уравнений (1), линеаризованной в окрестности произвольного решения, корректна (по Петровскому), если выполнены следующие условия:

$$\frac{1}{2}C_s(\alpha_g, Re) < -\alpha_g, \quad \hat{p}_I > 0$$

Функция $C_s(\alpha_g, Re)$ по построению всегда удовлетворяет первому неравенству, однако второе неравенство $\hat{p}_I > 0$ может не выполняться, так как $C_s < 0$. Для расширения области корректности в предложенную систему уравнений (1)

введен источник, описывающий кавитацию, который позволяет поддерживать межфазное давление \hat{p}_I выше давления насыщения.

В **третьей главе** представлена физико-математическая модель, описывающая двухскоростное двухфазное вязкое течение жидкости с пузырьками инертного газа, полученная из системы уравнений (1) после учета вязких напряжений:

$$\begin{aligned}
\frac{\partial \alpha_i \rho_i}{\partial t} + \nabla_k (\alpha_i \rho_i u_i^k) &= 0 \\
\frac{\partial \alpha_i \rho_i u_i^j}{\partial t} + \nabla_k (\alpha_i \rho_i u_i^k u_i^j + p_i \alpha_i \delta^{jk}) - \hat{p}_I \nabla_j \alpha_i - \nabla_k \alpha_i \tau_i^{jk} &= F_{i,m}^j \\
\frac{\partial \alpha_i \rho_i E_i}{\partial t} + \nabla_k (\alpha_i u_i^k (\rho_i E_i + p_i)) + \hat{p}_I \frac{\partial \alpha_i}{\partial t} - \nabla_k \alpha_i \tau_i^{jk} u_{j,i} &= Q_{i,m} \\
p_l = p_g, \quad \hat{p}_I &= p_l + \frac{1}{2} C_s (\alpha_g, \text{Re}) \rho_l u_{lg}^2
\end{aligned} \tag{3}$$

где $i = 1, g$, $m = 1, g$ и $m \neq i$, $\tau_i^{jk} = \mu_i \left[(\nabla_k u_i^j + \nabla_j u_i^k) - \frac{2}{3} \nabla_k u_i^k \right]$ — компоненты тензора вязких напряжений i -ой фазы, μ_i — вязкость i -ой фазы.

Показано, что задача Коши для системы уравнений (3) в изотермическом приближении, линеаризованной в окрестности произвольного решения, корректна (по Петровскому).

Проведено сравнение результатов численных расчетов с литературными экспериментальными данными [7] в задаче о течении пузырьковой среды через сопло. Получено хорошее согласие численных и экспериментальных результатов (см. рис. 1). На основе численных экспериментов установлено, что межфазное давление \hat{p}_I может значительно влиять на структуру течения в задаче о течении пузырьковой среды в сопле.

С участием диссертанта проведены экспериментальные исследования по передаче количества движения от УВ к пузырьковой жидкости. Экспериментальная установка представляла собой вертикальную гидроударную трубу прямоугольного сечения 50×100 мм² длиной 1980 мм, состоящую из камеры высо-

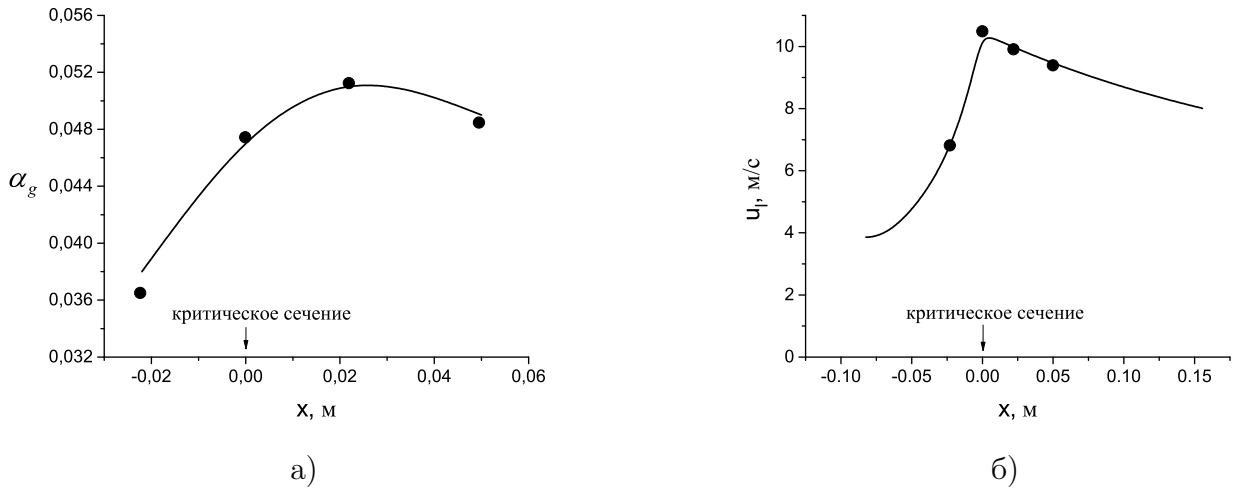


Рисунок 1 — Измеренные [7] (символы) и рассчитанные (сплошные кривые) свойства течения вдоль оси сопла: а) средняя объемная доля газа, б) средняя скорость жидкости

кого давления (КВД, 495 мм), отделенной от камеры низкого давления (КНД, 495 мм) диафрагмой, и измерительной секции (ИС, 990 мм), заполненной жидкостью с пузырьками газа при нормальных условиях. КВД и КНД были заполнены газом. После разрыва диафрагмы формировалась УВ, которая распространялась по КНД и затем проникала в пузырьковую жидкость. Проведены численные расчеты распространения УВ в условиях эксперимента, показавшие хорошее соответствие экспериментальным данным.

Численно и экспериментально доказано существование оптимального начального газосодержания жидкости для достижения наиболее эффективной передачи количества движения от УВ к пузырьковой среде. Получено, что значения импульса, передаваемого пузырьковой среде как «слабыми» (амплитуда падающей УВ $\Delta p \approx 0.05$ МПа), так и «сильными» УВ ($\Delta p \approx 0.5$ МПа), имеют тенденцию выходить на насыщение при начальном объемном газосодержании 0.3, т.е. при дальнейшем увеличении начального газосодержания импульс увеличивается незначительно (см. рис.2).

В четвертой главе представлена физико-математическая модель, описывающая двухскоростное двухфазное течение пузырьковой жидкости, учитывающая радиальную инерцию газовых пузырьков.

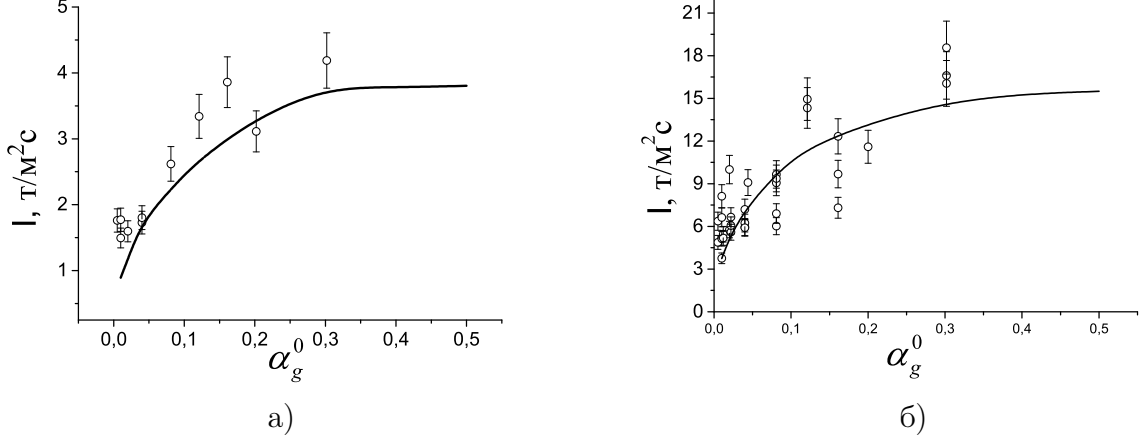


Рисунок 2 — Рассчитанные (кривые) и измеренные (символы с ошибками) зависимости количества движения от начального объемного газосодержания пузырьковой воды для а) «слабой» и б) «сильной» УВ;

Система определяющих уравнений получена после ввода в систему уравнений (1) стандартного уравнения Рэлея-Ламба вместо условия равенства фазовых давлений и дополнительного соотношения, связывающего объемную долю газа и средний радиус пузырьков R в элементарном объеме V :

$$\begin{aligned}
\frac{\partial \alpha_i \rho_i}{\partial t} + \nabla_k (\alpha_i \rho_i u_i^k) &= 0 \\
\frac{\partial \alpha_i \rho_i u_i^j}{\partial t} + \nabla_k (\alpha_i \rho_i u_i^k u_i^j + p_i \alpha_i \delta^{jk}) - \hat{p}_I \nabla_j \alpha_i &= F_{i,m}^j \\
\frac{\partial \alpha_i \rho_i E_i}{\partial t} + \nabla_k (\alpha_i u_i^k (\rho_i E_i + p_i)) + \hat{p}_I \frac{\partial \alpha_i}{\partial t} &= Q_{i,m} \\
\frac{\partial R}{\partial t} + u_g^k \nabla_k R &= w_b \\
\rho_1 R \left(\frac{\partial w_b}{\partial t} + u_g^k \nabla_k w_b \right) + \rho_1 \frac{3}{2} w_b^2 &= p_g - \frac{4\mu_1 w_b}{R} - \frac{2\sigma}{R} - p_1 \\
\hat{p}_I &= p_1 + \frac{1}{2} C_s(\alpha_g, \text{Re}) \rho_1 u_{1g}^2
\end{aligned} \tag{4}$$

где $i = 1, g$, $m = 1, g$ и $m \neq i$, w_b — скорость пульсаций газовых пузырьков. Объемная доля газа и средний радиус газовых пузырьков связаны соотношением:

$$\alpha_g = \frac{4}{3} \pi R^3 N \tag{5}$$

где N — число пузырьков в элементарном объеме. Предполагалось, что $N = \text{const}$.

Показано, что система уравнений (4) в одномерном случае без алгебраических источников, линеаризованная в окрестности постоянных начальных данных, корректна, если выполнены следующие условия:

$$\begin{aligned}\hat{p}_1 &> 0 \\ \frac{1}{2}C_s(\alpha_g, \text{Re}) &< -\alpha_g\end{aligned}$$

Для решения системы (4) предложен новый численный метод. Основная идея [8] метода заключается в нахождении давления p_i , где $i = 1, g$, обеспечивающего равенство функций $U_i(p_i) = \bar{U}_i(p_i)$, где $U_i = \alpha_i \rho_i$ рассчитывается на основе законов сохранения массы, энергии и количества движения, а функция $\bar{U}_i = \bar{\alpha}_i \rho_i$ рассчитывается на основе уравнения Рэлея-Ламба, причем $\bar{\alpha}_i$ получается из соотношения (5) по радиусу R , рассчитанному из уравнения Рэлея-Ламба.

Система уравнений (4) дискретизировалась на равномерной «разнесенной» сетке в одномерном случае, где p_i, α_i, R и E_i вместе с переменной U_i определялись в центрах расчетных ячеек, а \mathbf{u}_i с переменной $\Psi_i \equiv \alpha_i \rho_i u_i$ определялись на гранях ячеек. Закон сохранения массы дискретизировался следующим образом:

$$\frac{U_{i,k}^{n+1} - U_{i,k}^n}{\tau} + \frac{\Psi_{i,k+\frac{1}{2}}^{n+1} - \Psi_{i,k-\frac{1}{2}}^{n+1}}{h} = 0 \quad (6)$$

где τ — шаг интегрирования по времени, h — длина расчетной ячейки, индекс k обозначает центр ячейки, а индекс $k \pm \frac{1}{2}$ — грань ячейки.

Неявные потоки массы $\Psi_{i,k\pm\frac{1}{2}}^{n+1}$ рассчитываются из закона сохранения количества движения неявно по давлению:

$$\frac{\Psi_{i,k+\frac{1}{2}}^{n+1} - \Psi_{i,k+\frac{1}{2}}^n}{\tau} - \frac{(\alpha_i^n p_i^{n+1})_{k+1} - (\alpha_i^n p_i^{n+1})_k}{h} - \frac{(\alpha_i \rho_i u_i^2)_{k+1}^n - (\alpha_i \rho_i u_i^2)_k^n}{h} - \frac{\hat{p}_{I,k+\frac{1}{2}}^n (\alpha_{i,k+1}^n - \alpha_{i,k}^n)}{h} = 0$$

Уравнение Рэлея-Ламба дискретизировалось следующим образом:

$$\begin{aligned} R_k^{n+1} &= R_k^n - \tau \left(u_g \frac{\partial R}{\partial x} \right)_k^n + \tau w_{b,k}^{n+1} \\ w_{b,k}^{n+1} &= w_{b,k}^n - \tau \left(u_g \frac{\partial w_b}{\partial x} \right)_k^n - 1.5\tau \frac{(w_{b,k}^n)^2}{R_k^n} - \tau \frac{4\mu_1 w_{b,k}^n}{\rho_1 (R_k^n)^2} \\ &+ \tau \frac{p_{g,k}^{n+1} - p_{l,k}^{n+1} - 2\sigma/R_k^n}{\rho_1 R_k^n} \end{aligned}$$

Полученная нелинейная система уравнений $U_i(p_i^{n+1}) = \bar{U}_i(p_i^{n+1})$ решалась методом Ньютона, где $i = 1, g$.

Проведено сравнение результатов численных расчетов с экспериментальными данными по структуре УВ (осцилляторная или монотонная), а также по частоте и амплитуде осцилляций в осцилляторных ударных волнах в пузырьковых средах с пузырьками газа разного сорта (см., например, рис. 3). Получено хорошее согласие результатов.

В **пятой главе** представлена физико-математическая модель, описывающая двухскоростное двухфазное течение пузырьковой жидкости, учитывающая радиальную инерцию реакционноспособных газовых пузырьков.

Система определяющих уравнений (4) дополнялась законами сохранения массы компонентов газа с химическими источниками и энергии с источником, описывающим скорость энерговыделения в результате химических превращений:

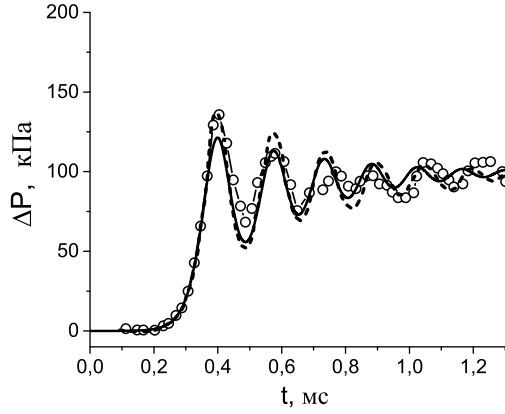
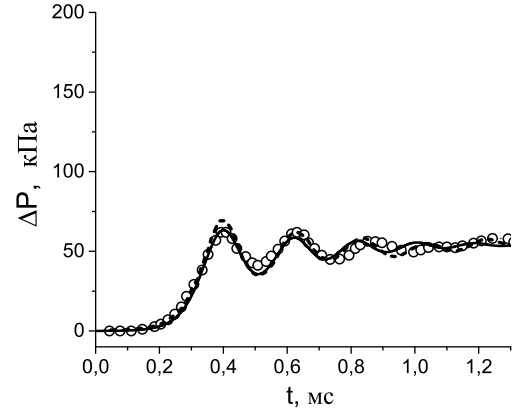
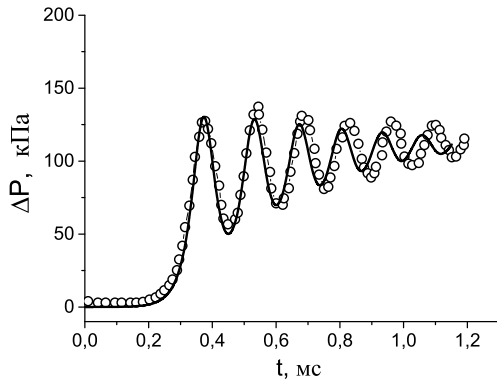
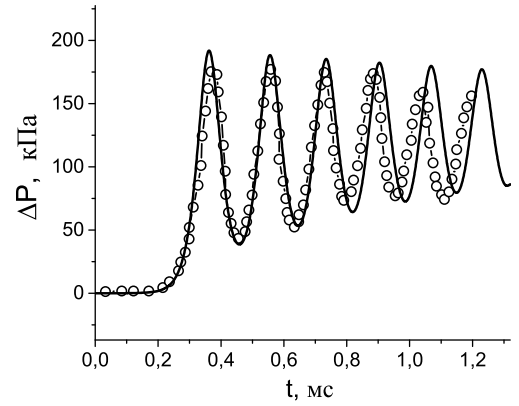
а) частота ≈ 6.25 кГц,б) частота ≈ 4.91 кГцв) частота ≈ 6.56 кГцг) частота ≈ 5.81 кГц

Рисунок 3 — Сравнение численных результатов (сплошные линии) с экспериментальными данными (символы): профили давления в УВ а)—б) эксперимент [8] и в)—г) эксперимент [9]; штриховые линии — результаты численных расчетов, полученных на основе математической модели из [8]

$$\begin{aligned}
 \frac{\partial \alpha_i \rho_i}{\partial t} + \nabla_k (\alpha_i \rho_i u_i^k) &= 0 \\
 \frac{\partial \alpha_g \rho_g Y_l}{\partial t} + \nabla_k (Y_l \alpha_g \rho_g u_g^k) &= \alpha_g \dot{\omega}_l \\
 \frac{\partial \alpha_i \rho_i u_i^j}{\partial t} + \nabla_k (\alpha_i \rho_i u_i^k u_i^j + p_i \alpha_i \delta^{jk}) - \hat{p}_I \nabla_j \alpha_i &= F_{i,m}^j \\
 \frac{\partial \alpha_g \rho_g E_g}{\partial t} + \nabla_k (\alpha_g u_g^k (\rho_g E_g + p_g)) + \hat{p}_I \frac{\partial \alpha_g}{\partial t} &= \alpha_g \dot{\omega} + Q_{gl} \\
 \frac{\partial R}{\partial t} + u_g^k \nabla_k R &= w_b \\
 \rho_l R \left(\frac{\partial w_b}{\partial t} + u_g^k \nabla_k w_b \right) + \rho_l \frac{3}{2} w_b^2 &= p_g - \frac{4\mu_l w_b}{R} - \frac{2\sigma}{R} - p_l \\
 \hat{p}_I &= p_l + \frac{1}{2} C_s(\alpha_g, Re) \rho_l \mathbf{u}_{lg}^2
 \end{aligned} \tag{7}$$

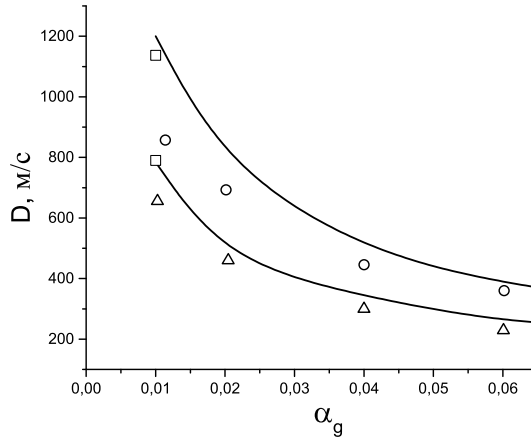


Рисунок 4 — Эксперимент: кружки — скорость детонационной волны, треугольники — скорость основной УВ, следующей за детонационной волной, кривые — расчетные скорости детонационной и УВ, квадраты — расчетные (на основе детального механизма) скорости детонационной волны и УВ. Параметры в КВД (длина 1150 мм.): воздух при начальном давлении $p = 62.94$ атм. и температуре $T = 4278$ К, в КНД (длина 290 мм.): воздух при н.у., в ИС (длина 4195 мм.): вода с пузырьками ацетилено-кислородной смеси при н. у.

где $i = 1, g$, $m = 1, g$ и $m \neq i$, $l = \overline{1, L-1}$, Y_l — массовая доля l -го компонента в газовой фазе, $\dot{\omega} = - \sum_{l=1}^L \Delta e_{g,l}^0 \dot{\omega}_l$ — скорость энергосвободы в результате химических реакций в газе, $\Delta e_{g,l}^0$ — стандартные энергии образования химических компонентов. Химические источники в газе $\dot{\omega}_l$ определяются стандартным образом:

$$\dot{\omega}_l = W_l \sum_{k=1}^M (\nu_{l,k}'' - \nu_{l,k}') f_k \quad (8)$$

Здесь M — полное число химических реакций, $\nu_{l,k}''$ ($\nu_{l,k}'$) — стехиометрический коэффициент компонента l , являющегося продуктом (реагентом) в k -ой реакции,

$$f_k = A_k T_g^{\eta_k} e^{-\frac{E_k}{RT_g}} \prod_{l=1}^L \left(\frac{Y_l \rho_g}{W_l} \right)^{m_{l,k}} \quad (9)$$

где A_k и η_k — константы k -ой реакции, E_k — энергия активации k -ой реакции и, если не отмечено отдельно, то $m_{l,k} = \nu_{l,k}'$.

Проведено сравнение результатов численных расчетов с экспериментальными данными по скорости распространения (рис. 4) и структуре «пузырько-

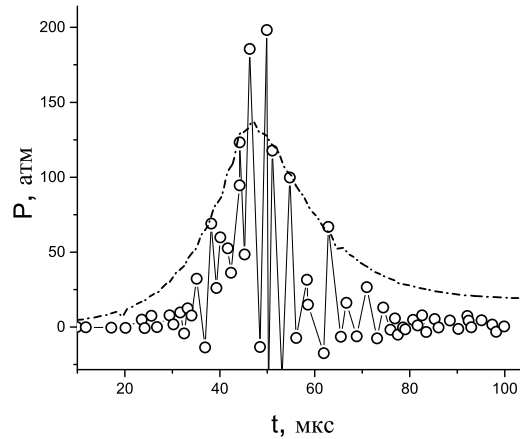


Рисунок 5 — Измеренный (символы) и рассчитанный профили давления в пузырьковой детонации. Параметры в КВД (длина 1150 мм.): воздух при начальном давлении $p = 62.94$ атм. и температуре $T = 4278$ К, в КНД (длина 290 мм.): воздух при н.у., в ИС (длина 4195 мм.): раствор глицерина и воды с пузырьками ацетилено-кислородной смеси при н. у., $\alpha_g^0 = 0.01$, скорость детонационной волны ≈ 1130 м/с

вой» детонации (рис. 5) на примере воды с пузырьками ацетилено-кислородной смеси [10]. Получено удовлетворительное согласие результатов. Показано, что система уравнений (7) позволяет моделировать самоподдерживающуюся уединенную волну пузырьковой детонации в пузырьковой среде с параметрами, как в эксперименте (см. рис. 5).

Для моделирования химических превращений ацетилено-кислородной смеси применялся детальный кинетический механизм [11], а также в работе был получен глобальный механизм (см. табл. 2), причем константы реакций подбирались по задержкам воспламенения ацетилено-кислородной смеси, полученным на основе детального механизма реакций.

Основные результаты и выводы

1. Предложены корректные физико-математические модели двухфазного двухскоростного неизотермического течения пузырьковой среды, которые последовательно (от простого к сложному) дополняются уравнениями, описывающими сопутствующие физические (колебания пузырьков, вязкость фаз, межфазный обмен количеством движения и энергией) и

Таблица 2

Константы реакций глобального механизма для начального давления
 $30 \text{ атм} < p_g^0 < 150 \text{ атм}$ и начальной температуры $1500 \text{ К} < T_g^0 < 2500 \text{ К}$,
 стехиометрическая смесь

Реакция	A , м-моль-с	η	E , кДж/моль
$\text{C}_2\text{H}_2 + 2.5\text{O}_2 \longrightarrow 2\text{CO} + \text{H}_2\text{O}$	10^{11}	0	55.4
$\text{CO} + 0.5\text{O}_2 = \text{CO}_2$	$2 \cdot 10^9$	0	12
$\text{H}_2\text{O} + \text{M} = \text{H} + \text{OH} + \text{M}$	$1.6 \cdot 10^{27}$	-3.0	124

химические (глобальные и детальные кинетические механизмы химических реакций, энергосыделение в газе) процессы.

2. Для предложенных физико-математических моделей двухфазного двухскоростного неизотермического течения пузырьковой среды разработаны и отлажены новые численные алгоритмы.
3. Проведена верификация предложенных физико-математических моделей двухфазного двухскоростного неизотермического течения пузырьковой среды на основе сравнения результатов численных расчетов с литературными экспериментальными данными, а также с новыми данными экспериментов о передаче количества движения от ударной волны к пузырьковой жидкости, полученных с участием диссертанта.
4. Численно и экспериментально доказано существование оптимального начального газосодержания жидкости для достижения наиболее эффективной передачи количества движения от ударной волны к пузырьковой среде.

Основные результаты диссертации изложены в работах:

1. Авдеев К.А., Аксенов В.С., Борисов А. А., Тухватуллина Р.Р., Фролов С.М., Фролов Ф.С., Численное моделирование передачи импульса от ударной волны к пузырьковой среде// Химическая физика. – 2015. – Т. 34. – № 5. – С. 34–46.

2. Frolov S.M., Avdeev K. A., Aksenov V.S., Borisov A. A., Frolov F.S., Shamshin I. O. , Tukhvatullina R.R., Basara B., Edelbauer W. , Pachler K. Experimental and computational studies of shock wave-to-bubbly water momentum transfer// International Journal of Multiphase Flow – 2017. – V.92. – P. 20–38.
3. Авдеев К. А., Аксёнов В. С., Борисов А. А., Севастополева Д. Г., Тухватуллина Р. Р., Фролов С. М., Фролов Ф. С., Шамшин И.О. , Басара Б., Эдельбауэр У., Пахлер К. Расчет распространения ударной волны в воде с пузырьками реакционноспособного газа// Химическая физика. –2017. – Т. 36. – № 4. – С. 1–11.
4. Tukhvatullina R.R., Frolov S.M. Well-posed Euler model of shock-induced two-phase flow in bubbly liquid// International Journal of Shock Waves. – 2017. – Online first: DOI 10.1007/s00193-017-0731-y.
5. Лидский Б.В., Посвянский В.С., Семенов И.В., Тухватуллина Р.Р., Фролов С.М. Корректность смешанной эволюционно-краевой задачи и ее дискретного аналога для многофазных течений// Горение и взрыв. – 2013. – Вып. 6. – С. 137–144.
6. Тухватуллина Р. Р. Исследование корректности задачи Коши для двухскоростного вязкого двухфазного течения (жидкость–газ)// Горение и взрыв. – 2015. – Т.8. – № 2. – С. 38–44.
7. Авдеев К.А., Аксенов В.С., Борисов А. А., Тухватуллина Р.Р., Фролов С.М., Фролов Ф.С. Численное моделирование воздействия ударной волны на пузырьковую среду//Горение и взрыв. – 2015. – Т. 8. – №2. – С. 45–56.
8. Авдеев К.А., Аксенов В.С., Борисов А. А., Тухватуллина Р.Р., Фролов С.М., Фролов Ф.С. Численное моделирование передачи импульса

- от ударной волны к пузырьковой среде// Горение и взрыв. – 2015. – Т. 8. – №2. – С. 57–67.
9. Tukhvatullina R.R., Frolov S.M. Well-posed Euler Model of Shock and Detonation Induced Two-phase Flow in Bubbly Liquid// Progress in Detonation Physics. Ed. by S.M.Frolov, G.D. Roy. – Torus Press, Moscow, 2016. – P. 106–120.
10. Frolov S.M., Avdeev K. A., Aksenov V.S., Borisov A. A., Frolov F.S., Shamshin I. O., Tukhvatullina R.R., Basara B., Edelbauer W. , Pachler K. Experimental and Computational Investigation of Shock Wave-to-Bubbly Water Momentum Transfer// Progress in Detonation Physics. Ed. by S.M.Frolov, G.D. Roy. – Torus Press, Moscow, 2016. – P. 199–219.
11. Frolov S.M., Avdeev K. A., Aksenov V.S., Frolov F.S., Sadykov I.A., Shamshin I. O., Tukhvatullina R.R. Direct conversion of fuel chemical energy into the energy of water motion// Nonequilibrium processes in physics and chemistry, Vol.2: Combustion and Detonation. Ed. by A. M. Starik and S. M. Frolov. – Moscow, Torus Press, 2016. – P. 251 – 262
12. Тухватуллина Р.Р., Фролов С.М. Корректность неизотермической модели Эйлера для двухфазных течений// Горение и взрыв. – 2016. – Т. 9. – №4. – С. 26–36.
13. Авдеев К.А., Аксенов В.С., Борисов А. А., Севастополева Д.Г., Тухватуллина Р.Р., Фролов С.М. , Фролов Ф.С. Ударные волны в воде с пузырьками реакционноспособного газа: расчет// Горение и взрыв. – 2016. – Т. 9. – №4. – С. 48–64.
14. Тухватуллина Р. Р., Фролов С.М. Ударные волны в жидкости, содержащей инертные и реакционноспособные газовые пузырьки// Горение и взрыв. – 2017. – Т.10. – №2. – С. 52–61.

Список литературы

1. Фролов С.М., Фролов Ф.С., Аксенов В.С., Авдеев К.А. Водометный импульсный детонационный двигатель (варианты) и способ создания гидро-реактивной тяги. Заявка РСТ/RU2013/001148 от 23.12.2013. – <http://www.idgcenter.ru/patentPCT-RU2013-001148.htm>
2. Авдеев К.А., Аксёнов В.С., Борисов А.А., Тухватуллина Р.Р., Фролов С.М., Фролов Ф.С. Численное моделирование передачи импульса от ударной волны к пузырьковой среде// Химическая физика. – 2015. – Т. 34. – №5. – С. 34–46.
3. Зельдович Я.Б. К вопросу об энергетическом использовании детонационного горения// ЖТФ. – 1940. – Т. 10. – №17. – С. 1453–1461.
4. Frolov S.M. Natural-gas-fueled pulse-detonation combustor// Journal of Propulsion and Power. – 2014. – Vol. 30. – №1. – P. 41–46.
5. Ламб Г. Гидродинамика. – Москва: Гостехиздат, 1947. – 929 с.
6. Stuhmiller J. H. The influence of interfacial pressure forces on the character of two-phase flow model equations //International Journal of Multiphase Flow. – 1977. – Vol. 3. – №6. – P. 551–560.
7. Ishii R., Umeda Y., Murata S., Shishido N. Bubbly flows through a converging–diverging nozzle// Physics of Fluids A: Fluid Dynamics. – 1993. – Vol. 5. – №7. – С. 1630–1643.
8. Kameda M., Matsumoto Y. Shock waves in a liquid containing small gas bubbles// Physics of Fluids. – 1996. – Vol. 8. – №2. – P. 322–335.
9. Kameda M., Shimaura N., Higashino F., Matsumoto Y. Shock waves in a uniform bubbly flow// Physics of Fluids. – 1998. – Vol. 10. – №10. – P. 2661–2668.

10. Сычев А.И. Волна детонации в системе жидкость — пузырьки газа// ФГВ. — 1985. — Т. 21. — №3. — С. 103–110.
11. Smith G. P., Golden D. M., Frenklach M., Eiteener B., Goldenberg M., Bowman C. T., Hanson R. K., Gardiner W. C., Lissianski V. V., Qin Z. W. GRI-Mech 3.0. — http://www.me.berkeley.edu/gri_mech/.